

Содержание

1	Введение	2
2	Теория	3
2.1	Уравнения движения	3
2.2	Закон сохранения энергии	4
2.3	Поведение системы	4
3	Описание программы	8
3.1	Метод решения	9
3.2	Интерфейс программы	9
4	Итоги работы	11

1 Введение

В этой работе рассмотрена качающаяся машина Атвуда, в которой один из грузов может совершать движения в двумерной плоскости (рис. 1). Блоки не имеют массы и трения, веревка не растяжима и также не имеет массы. Предполагается, что веревка достаточно длинная, чтобы противовес M не касался блока, с другой стороны мы даем качающемуся грузу m подниматься над горизонтальной линией и делать полные обороты вокруг блока, полагая, что веревка всегда остается в натяжении.

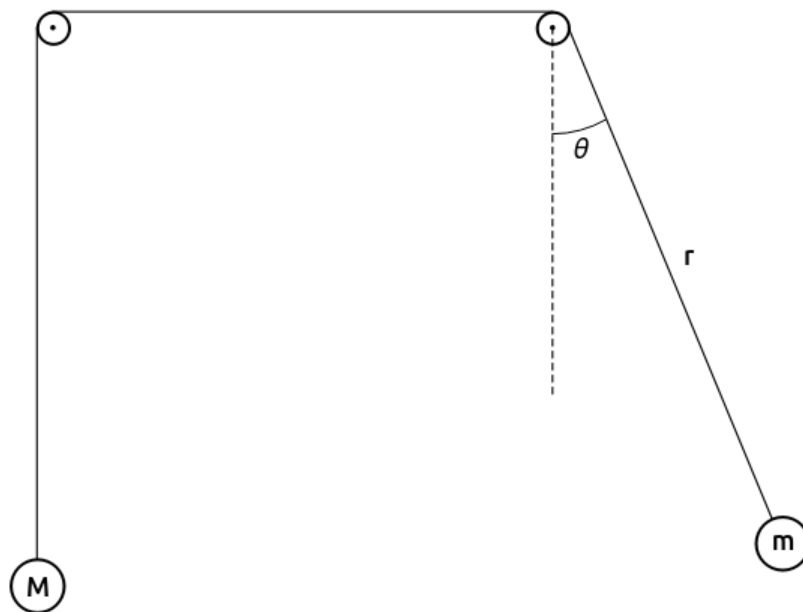


Рис. 1: Качающаяся машина Атвуда.

2 Теория

2.1 Уравнения движения

Качающаяся машина Атвуда имеет две степени свободы. В качестве координат возьмем r и θ , которые обозначены на рис. 1. Кинетическая энергия системы:

$$T = \frac{1}{2}M\dot{r}^2 + \frac{1}{2}m(\dot{r}^2 + r^2\dot{\theta}^2), \quad (2.1)$$

потенциальная энергия системы (без произвольной постоянной):

$$V = gr(M - m \cos \theta), \quad (2.2)$$

где g – ускорение свободного падения. Функция Лагранжа системы ($L = T - V$), в таком случае, имеет вид:

$$L = \frac{1}{2}M\dot{r}^2 + \frac{1}{2}m(\dot{r}^2 + r^2\dot{\theta}^2) + gr(m \cos \theta - M). \quad (2.3)$$

Получим уравнения Эйлера-Лагранжа ($\frac{d}{dt}(\frac{\partial L}{\partial \dot{q}_i}) = \frac{\partial L}{\partial q_i}$):

$$\begin{cases} (m + M)\ddot{r} = m r \dot{\theta}^2 + g(m \cos \theta - M), \\ \frac{d}{dt}(m r^2 \dot{\theta}) = -m g r \sin \theta. \end{cases} \quad (2.4)$$

Первое уравнение системы 2.4 — закон Ньютона в радиальном направлении. Второе уравнение говорит о том, что скорость изменения углового момента равна моменту силы тяжести.

Для упрощения определим:

$$\mu = \frac{M}{m}. \quad (2.5)$$

Тогда система 2.4 примет окончательный вид:

$$\begin{cases} (1 + \mu)\ddot{r} = r\dot{\theta}^2 + g(\cos \theta - \mu); \\ r\ddot{\theta} + 2\dot{r}\dot{\theta} + g \sin \theta = 0. \end{cases} \quad (2.6)$$

Движение качающейся машины Атвуда полностью описывается системой 2.6 и начальными условиями:

$$\begin{cases} r(0) = r_0 \\ \theta(0) = \theta_0 \\ \dot{r}(0) = \dot{r}_0 \\ \dot{\theta}(0) = \dot{\theta}_0 \end{cases} \quad (2.7)$$

2.2 Закон сохранения энергии

Поскольку диссипативные силы отсутствуют, энергия системы

$$E = T + V = \frac{1}{2}M\dot{r}^2 + \frac{1}{2}m(\dot{r}^2 + r^2\dot{\theta}^2) + gr(M - m \cos \theta) \quad (2.8)$$

сохраняется.

Это можно также понять из функции Лагранжа системы, поскольку $\frac{\partial L}{\partial t} = 0$.

2.3 Поведение системы

В зависимости от начальных условий и отношения масс μ , качающаяся масса описывает различные виды траекторий. Классифицируем их (с иллюстрациями из программы):

1. **Ограниченная траектория** (рис. 2): $r(t) < r_{max} \quad \forall t \geq 0$.
Траектория ограничена, если $M > m$. Доказательство этого факта приведено в статье [1]

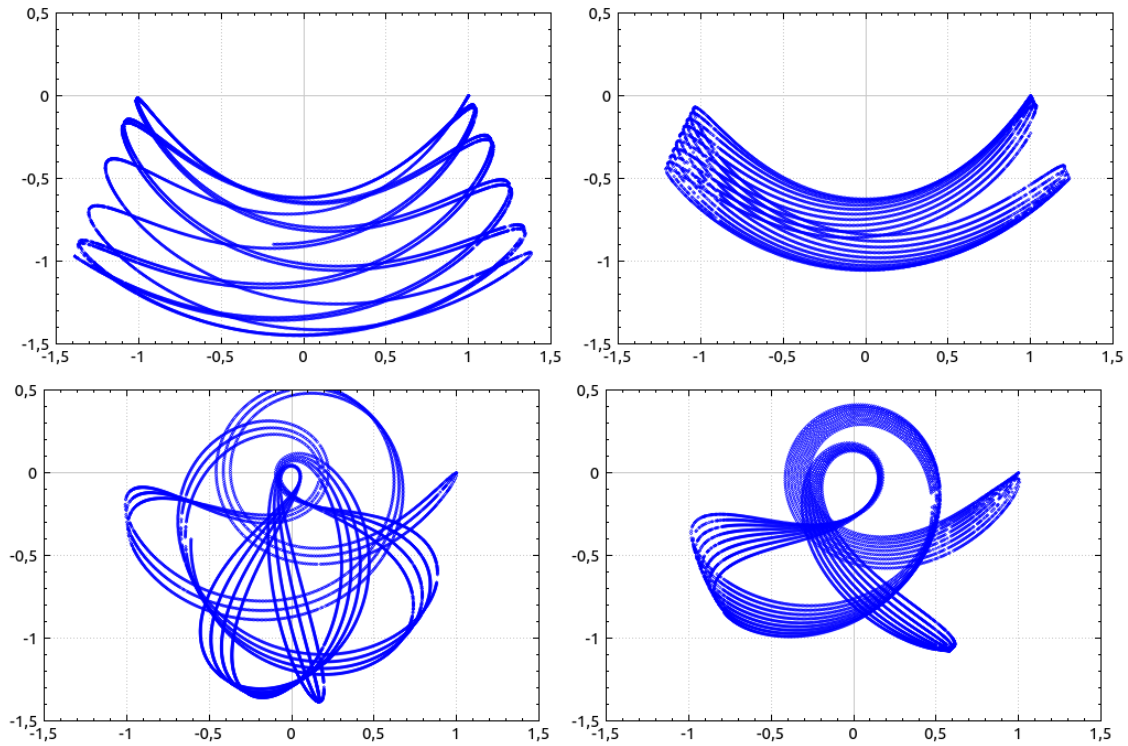


Рис. 2: Ограниченные (и несингулярные) траектории при $\mu = 1.4; 1.5; 3.5; 4.8$ и $\theta_0 = \pi/2$

2. Периодическая траектория (рис. 3):

$$\exists \tau : r(t + \tau) = r(t), \quad \theta(t + \tau) = \theta(t) \quad \forall t \geq 0.$$

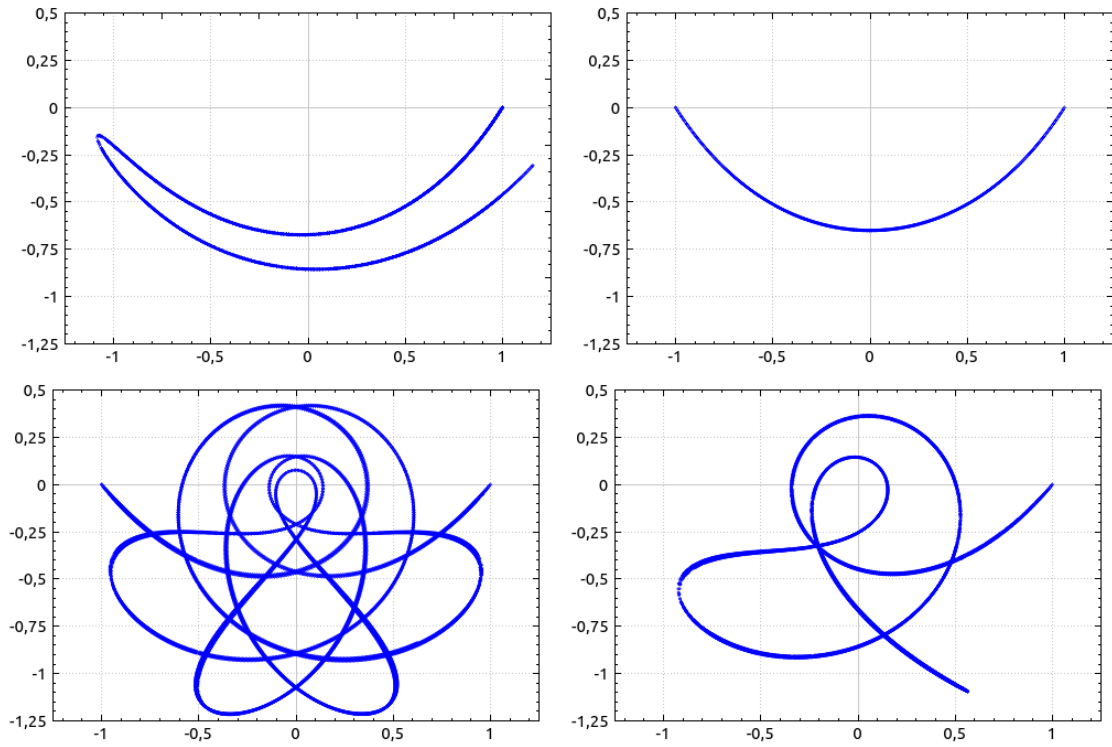


Рис. 3: Периодические траектории при $\mu = 1.555; 1.665; 4.175; 4.745$ и $\theta_0 = \pi/2$

3. Сингулярная траектория (рис. 4): $r(0) = 0$.

Будем называть траекторию сингулярной, если в какой-либо точке r обнуляется. Чтобы получить такую траекторию можно просто установить начальное значение $r(0) = 0$. Но поскольку система инвариантна относительно трансляций во времени мы всегда можем организовать всё так, что любая сингулярная траектория начинается в точке $r(0) = 0$.

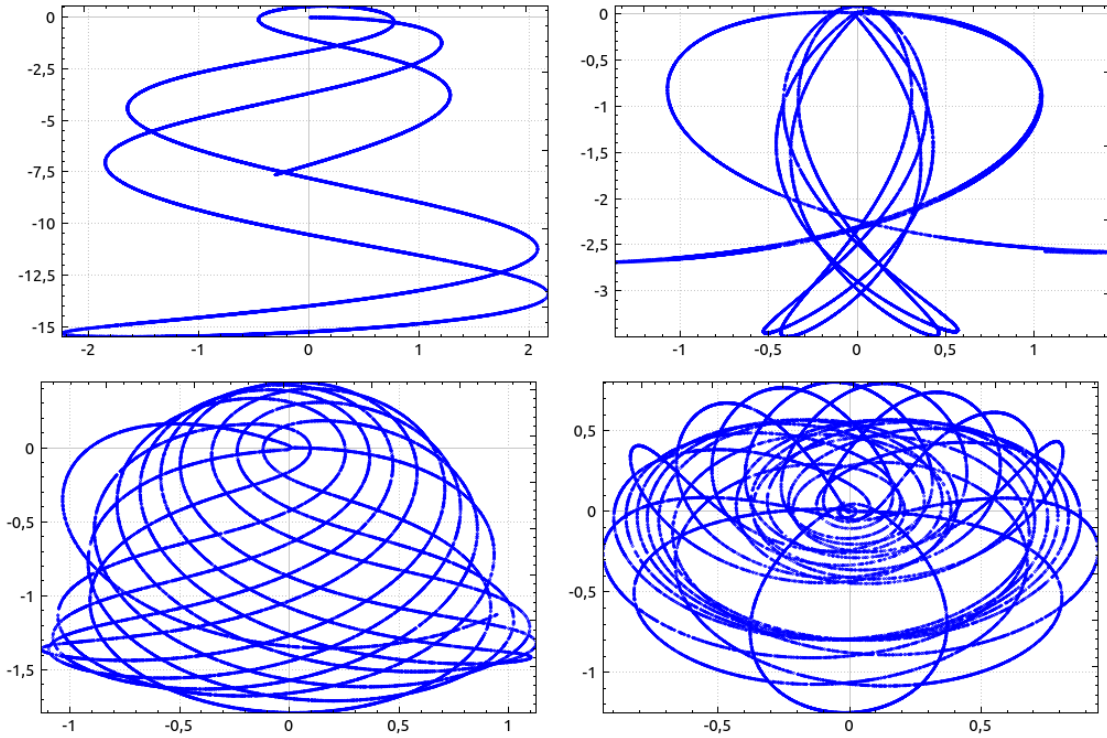


Рис. 4: Сингулярные траектории при $\mu = 1.1; 1.6; 2.3; 4.6$, $\theta_0 = \pi/2$, $\dot{r}(0) = 4$.

4. Прекращающаяся сингулярная траектория (рис. 5):

$$\exists \tau > 0 : r(\tau) = r(0) = 0$$

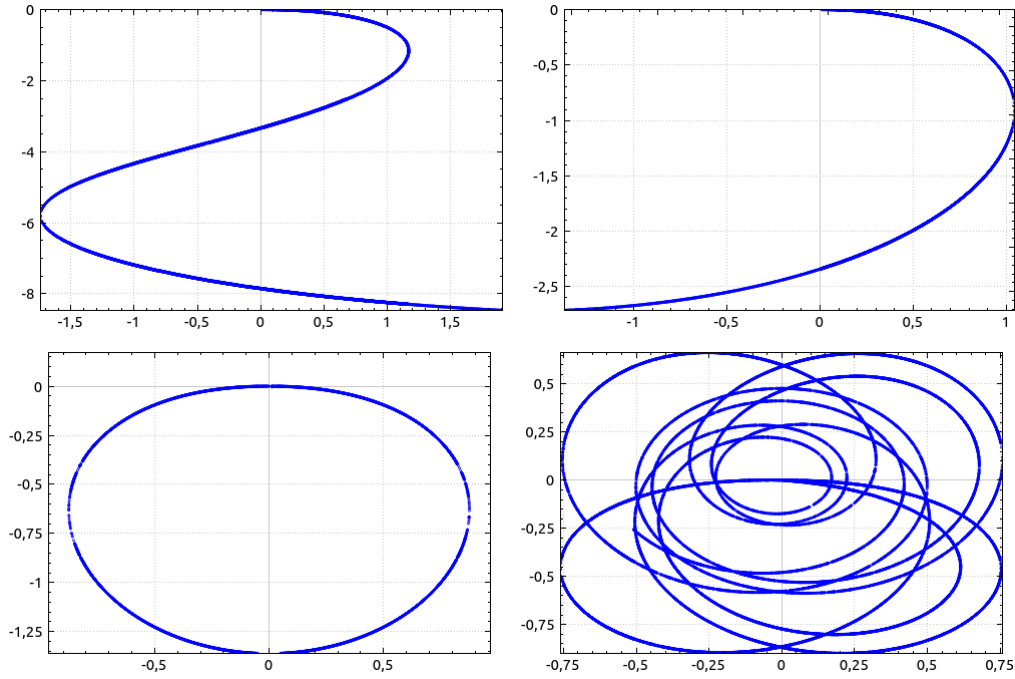


Рис. 5: Прекращающиеся сингулярные траектории при $\mu = 1.182; 1.594; 3; 8.120$, $\theta_0 = \pi/2$, $\dot{r}(0) = 4$.

3 Описание программы

В процессе работы программы происходит численное интегрирование предложенной системы дифференциальных уравнений методом Рунге – Кутты четвертого порядка. В интерфейсе программы можно задавать значения параметров и наблюдать построение траектории, фазовых плоскостей и график относительной энергии системы.

3.1 Метод решения

Преобразуем уравнения 2.6, введя новые переменные: $p(t) = \dot{r}(t)$, $q(t) = \dot{\theta}(t)$. Тем самым мы приходим к системе из четырех уравнений, разрешенных относительно производной:

$$\begin{cases} \dot{r} = p \\ \dot{\theta} = q \\ \dot{p} = \frac{1}{(1+\mu)}(r q^2 + g(\cos \theta - \mu)) \\ \dot{q} = \frac{1}{r}(2 p q - g \sin \theta). \end{cases} \quad (3.1)$$

С начальными условиями:

$$\begin{cases} r(0) = r_0 \\ \theta(0) = \theta_0 \\ p(0) = \dot{r}_0 \\ q(0) = \dot{\theta}_0 \end{cases} \quad (3.2)$$

Для численного решения этой системы был применен метод Рунге-Кутты 4-го порядка.

3.2 Интерфейс программы

Параметры, которые можно задавать в меню программы (рис. 6):

1. число шагов;
2. время движения;
3. отношение масс грузов;
4. начальный угол;

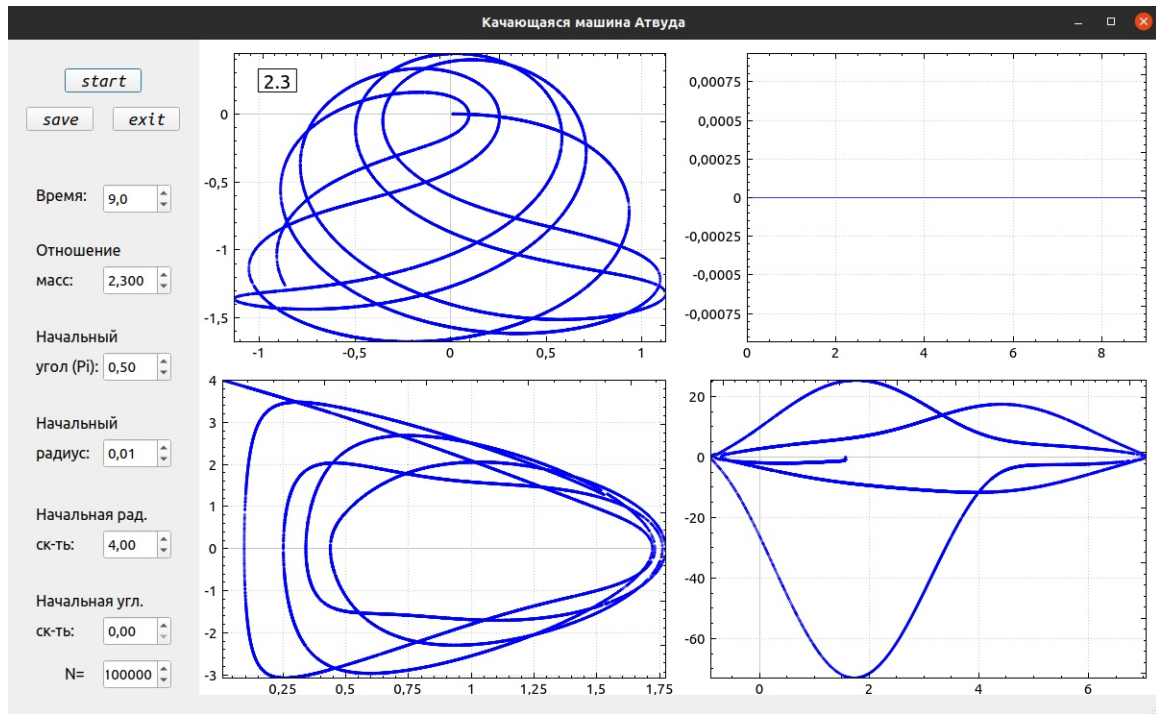


Рис. 6: Окно программы.

5. начальная длина нити;
6. начальная радиальная скорость;
7. начальная угловая скорость;

Графики, строящиеся в результате выполнения программы:

1. график траектории движения груза (слева сверху)
2. график зависимости относительного изменения энергии $\epsilon(t) = \left| 100 * \frac{E(t) - E(0)}{E(0)} \right|$ от времени t (справа сверху)
3. фазовый портрет №1: зависимость $\dot{r}(t)$ от $r(t)$ (слева внизу)

4. фазовый портрет №2: зависимость $\dot{\theta}(t)$ от $\theta(t)$ (справа внизу)

Помимо этого в программе есть возможность сохранить полученные графики в формате PNG по нажатию кнопки "save".

4 Итоги работы

В ходе выполнения проекта:

1. Написана программа выполняющая численное решение системы дифференциальных уравнений, описывающих качающуюся машину Атвуда, методом Рунге–Кутты 4-го порядка.
2. Исследованы различные типы траекторий движения груза. Получены графики этих траекторий и фазовые портреты.
3. Достоверность полученных решений подтверждают графики относительной энергии, которые также строятся в программе.

Список литературы

- [1] B. Tuffilaro, A. Abbot, and J. Griffiths. Atwood's machine. American Journal of Physics, doi: 10.1119/1.13791, 1984.
- [2] Л. Д. Ландау и Е. М. Лифшиц. Теоретическая физика: Т.I Механика. Издательство Наука. 1988. — 216 с.
- [3] Нефедов Н.Н., Попов В.Ю., Волков В.Т. Обыкновенные дифференциальные уравнения. Курс лекций — М.: Физический факультет МГУ им. М.В. Ломоносова, 2016. — 200 с.